

Structure topologique, fractalité et dynamique des attracteurs dans les systèmes d'opinion basés sur des agents

Résumé — Cet article développe une interprétation formelle de la science de la complexité de la dynamique des opinions observée dans des simulations basées sur des agents, en comparant les constellations C2, C3 et C4 sous des distributions simulées et aléatoires d'agents. S'appuyant sur une architecture à double niveau (dynamique d'opinion de surface et reconstruction cognitive basée sur des mêmes), nous démontrons que la structure topologique module les trajectoires de polarisation à travers des boucles de rétroaction non linéaires entre la distance relationnelle, le déséquilibre cognitif interne (W_{gap}) et la probabilité d'inversion. Les comparaisons factorielles (Sim vs. Aléatoire \times C2 vs. C4, référentiel harmonisé à droite) révèlent des effets d'interaction significatifs. Nous soutenons que ces résultats sont mieux compris à travers le prisme des systèmes adaptatifs complexes (*complex adaptive systems CAS*), de la stabilité structurelle, de la théorie de la bifurcation et de la dynamique de type production à entropie maximale.

1. Intégration théorique dans la science de la complexité

Le cadre de modélisation s'aligne avec les approches de la science de la complexité dans lesquelles la dynamique des opinions est traitée comme provenant des propriétés émergentes d'agents hétérogènes interagissant, intégrés dans des réseaux en évolution. Comme expliqué ailleurs (voir [Attracteurs culturels, MEPP et entropie créatrice](#), pp.1-4), le changement d'opinion ne peut pas être réduit à une moyenne scalaire, mais doit être compris comme la coévolution de la distance relationnelle et de la structure représentative interne.

La variable W_{gap} fonctionne comme un paramètre d'ordre au niveau micro. Lorsque la distance relationnelle dépasse un seuil critique alors que W_{gap} reste faible, le système entre dans une région où de petites perturbations génèrent des inversions de signe. Inversement, des valeurs W_{gap} élevées créent des bassins attracteurs caractérisés par une stabilité structurelle et une résistance à la bifurcation.

2. Bifurcations et stabilité structurelle

Les effets d'interaction observés dans la comparaison C2-C4 (Sim vs. Aléatoire) indiquent que le système ne répond pas linéairement à l'injection de mêmes. Au lieu de cela, C4, sous distribution simulée, présente une profondeur d'attracteur amplifiée ($\Delta_{right} \approx +9,45$), tandis que C2 sous simulation montre une stabilisation réduite. Cette asymétrie est cohérente avec

le comportement de bifurcation : la même perturbation produit des équilibres qualitativement distincts selon la topologie sous-jacente.

En termes de complexité, le C4, dans des conditions simulées, semble déplacer le système vers un bassin attracteur plus profond, augmentant la résilience une fois la polarisation consolidée. Les distributions aléatoires, en revanche, manquent de cohérence structurelle suffisante pour produire une telle amplification non linéaire.

3. Fractalité et rétroaction multi-échelle

L'indicateur fractal distingue les régimes simulés et aléatoires, suggérant une organisation multi-échelle dans les distributions de mêmes. La fractalité implique que les déséquilibres au niveau micro se répliquent à plusieurs échelles, renforçant la polarisation au niveau macro. Cette propriété récursive soutient l'interprétation de la polarisation comme un processus auto-similaire résultant de micro-interactions répétées.

La distance relationnelle dynamique illustre en outre les boucles de rétroaction : la volatilité est plus fortement corrélée à la dynamique qu'à la distance statique, ce qui indique que l'instabilité est un phénomène émergent dépendant du temps plutôt qu'une propriété fixe du réseau.

4. Perspective de production d'entropie maximale

En s'inspirant d'une analogie thermodynamique, le système peut être interprété à travers une vue similaire à la production d'entropie maximale : les échanges de mêmes augmentent localement l'entropie informationnelle, mais les contraintes structurelles canalisent cette entropie en des motifs de polarisation ordonnés. Les groupes extrémistes à forte prévalence fonctionnent comme des puits à faible entropie stabilisant la macrostructure, tandis que les agents centristes opèrent près de la criticité, où la production d'entropie est la plus élevée et les renversements les plus fréquents.

4.1 Formalisation du lien MEPP–Wgap : un modèle thermodynamique–informationnel

Cette sous-section offre un pont formel plus rigoureux entre le principe de production d'entropie maximale (MEPP) et l'indicateur de déséquilibre cognitif Wgap. L'objectif n'est pas de revendiquer une thermodynamique cognitive littérale, mais d'utiliser un cadre théorique qui génère des prédictions testables sur la macrodynamique à partir d'échanges de mêmes au niveau micro.

Le Wgap est défini comme le déséquilibre normalisé entre des actions de mêmes pondérées, avec des valeurs proches de 0 indiquant des représentations internes équilibrées et des valeurs proches de 1 indiquant la dominance d'une polarité (enracinement cognitif). Dans le

cadre structuré, $Wgap$ est proposé comme un médiateur entre la distance relationnelle et les inversions (distance $\rightarrow Wgap \rightarrow$ inversions).

4.1.1 Variables d'état et contraintes

Soit $M_i^+(t)$ and $M_i^-(t)$ décrivant l'ensemble des mèmes pondérés de l'agent i au temps t . La prévalence cognitive totale étant défini par $P_i(t) = M_i^+(t) + M_i^-(t)$ et son point d'équilibre par $B_i(t) = M_i^+(t) - M_i^-(t)$. L'opinion exprimée est constitutive de $o_i(t) = B_i(t)/P_i(t)$ lorsque lorsque $P_i(t) > 0$, sinon 0. L'indicateur de déséquilibre est $Wgap_i(t) = |B_i(t)|/P_i(t)$

Les interactions échangent des mèmes le long des bords du réseau (i, j) . À chaque tic, un agent reçoit une entrée informationnelle ΔB_i de ses voisins, modulée par une distance relationnelle $D_i(t)$ (statique ou dynamique). Les termes d'oubli et d'érosion croisée dissipent les actions de mèmes. Ces mécanismes définissent un système propulsé-dissipatif sous contraintes : influence bornée, prévalence bornée et opinion limitée dans $[-1, +1]$.

4.1.2 Un fonctionnel local de production d'entropie

Nous introduisons une entropie informationnelle de la composition interne du même

$$p_i(t) = M_i^+(t)/P_i(t)$$

$$1 - p_i(t) = M_i^-(t)/P_i(t).$$

Définissons l'entropie de Shannon :

$$H_i(t) = -p_i \log p_i - (1 - p_i) \log(1 - p_i).$$

Cette quantité est maximale en $p_i = 1/2$ ($Wgap_i = 0$) et minimale à $p_i \in 0, 1$ (complete dominance; $Wgap_i = 1$). Ainsi, H_i est une fonction monotone de $Wgap_i$.

Pour suivre l'analogie avec le MEPP, il faut définir un taux de production d'entropie pour chaque agent comme étant la somme de (i) un terme central lié à la relation du flux informationnel induit et (ii) un terme de dissipation dû à l'oubli/érosion. Sa forme minimale étant :

$$\sigma_i(t) = \alpha \cdot D_i(t) \cdot (1 - Wgap_i(t)) - \beta \cdot Wgap_i(t) \cdot P_i(t)$$

Le premier terme affirme que l'exposition à des points de vue différents produit plus de mélange informationnel (production d'entropie) lorsque la cognition n'est pas déjà verrouillée (faible $Wgap$). Le second terme code le coût du maintien d'une écologie interne fortement polarisée : des états hautement déséquilibrés et à forte prévalence sont des puits dissipatifs (stabilisants mais réducteurs d'entropie).

4.1.3 MEPP comme règle de sélection variationnelle

Selon une hypothèse de type MEPP, cette dynamique couplée sélectionne des trajectoires qui maximisent (localement) σ_i étant donné les contraintes $\partial \sigma_i / \partial Wgap_i = 0$ produisant un optimum intérieur :

$$Wgap_i^*(t) = 1/2 - (\alpha/2\beta) \cdot D_i(t)/P_i(t) (\text{à l'intérieur de } [0, 1]).$$

Cela donne trois prédictions vérifiables : (P1) une distance relationnelle dynamique plus élevée pousse le système vers un Wgap plus bas (un plus grand équilibre interne), créant un régime à forte volatilité; (P2) une prévalence plus élevée pousse Wgap vers le haut (enracinement), produisant de la stabilité; (P3) les interventions qui augmentent sélectivement dans les zones à faible prévalence (régions centrées) maximisent σ et donc maximisent les inversions et la volatilité. $D_i P_i D_i$

4.1.4 De la dynamique Wgap à la profondeur de l'attracteur

Au niveau macro, les attracteurs correspondent à des bassins cohérents où la plupart des agents présentent un $|o_i|$ élevé et un Wgap élevé (écologies de mêmes incorporés). Dans les résultats présents, les distributions simulées diffèrent des distributions aléatoires dans l'organisation fractale, qui peut être interprétée comme une contrainte multi-échelle sur les flux informationnels : les formes de couplage réseau-cognition prennent forme là où la production d'entropie se concentre (typiquement autour du centre), et là où elle s'effondre dans des puits stables (extrêmes).

Dans cette optique, C4, sous topologie simulée, approfondit l'attracteur en augmentant le couplage effectif entre D_i et l'opérateur de mise à jour des mêmes (c'est-à-dire en augmentant α dans σ_i), tout en maintenant des puits forts formant des nœuds à forte prévalence (augmentation de $\beta \cdot P_i$). Les effets d'interaction observés entre le type de distribution et la constellation sont cohérents avec un changement dans les paramètres effectifs, plutôt qu'avec un déplacement purement linéaire de l'opinion moyenne.

4.1.5 Estimation pratique et étalonnage

La fonction σ_i peut devenir opérationnelle à partir d'exportations de simulation : $D_i(t)$ est obtenu à l'aide du proxy dynamique de distance relationnelle, $Wgap_i(t)$ calculé à partir du stock de mêmes pondérés, et de la prévalence $P_i(t)$. Ajustez α et β en faisant correspondre la structure de covariance observée entre D, Wgap et les comptes d'inversion à l'aide d'une inférence de maximum de vraisemblance ou d'inférence bayésienne. L'optimum $Wgap_i$ inspiré du MEPP* fournit un indicateur falsifiable : les écarts devant prédire systématiquement où la formation des attracteurs échouera ou où la volatilité se concentrera.

4.1.6 Intensité d'injection des mêmes et profondeur d'attracteur : analyse comparative des paramètres

Afin d'évaluer la robustesse structurelle du mécanisme MEPP-Wgap, une analyse complémentaire a été conduite en comparant deux régimes d'intensité d'injection des mêmes. Dans la simulation actuelle, les paramètres étaient volontairement **réduits** ($inject_prob_max = 0,45$; $inject_weight = 0,05$), tandis que dans une simulation antérieure ils étaient **maximisés** ($inject_prob_max = 1$; $inject_weight = 2$). Cette variation permet de distinguer un effet purement paramétrique (intensité d'injection) d'un effet topologique (structure de distribution).

Toutes les analyses ont été réalisées dans un référentiel harmonisé (C4 inversé), de sorte qu'une valeur positive d'*avg_opinion* indique un déplacement vers la direction ciblée, indépendamment de la constellation.

Tailles d'effet factorielles

Une ANOVA à deux facteurs (type de distribution × constellation) sur l'*avg_opinion* finale (tick = 1000) montre :

- η^2 partiel — **interaction – type(*kind*) de distribution × constellation : 0,2855**
- η^2 partiel — constellation : 0,1433
- η^2 partiel — type(*kind*) de distribution : 0,0109

L'effet dominant est donc l'**interaction**, indiquant que l'effet de la constellation dépend du type de distribution. Cette signature statistique est cohérente avec un changement de profondeur d'attracteur induit par la structure topologique, et non simplement par l'intensité brute d'injection.

Modélisation robuste (GEE)

Un modèle à équations d'estimation généralisées (GEE), avec corrélation intra-réplication, confirme ce résultat :

- **Interaction Sim × C4** : $\beta = 0,1036$, SE robuste = 0,0261, $z = 3,97$, **p = 0,00007**
- Effet principal type(*kind*) de distribution (Sim) : $\beta = -0,0432$, $p = 0,0425$
- Effet principal constellation : non significatif

L'interaction demeure hautement significative malgré la faible intensité d'injection. Autrement dit, même sous paramètres minimaux, la topologie simulée amplifie sélectivement la dynamique directionnelle en C4.

Dynamique temporelle (vitesse de capture d'attracteur)

La métrique *t90* (temps nécessaire pour atteindre 90 % de la valeur finale) montre que la condition **Sim-C4** converge plus rapidement vers son attracteur que les autres conditions. Cette accélération dynamique suggère une profondeur accrue du bassin attracteur, et non un simple déplacement linéaire.

De plus, l'aire normalisée sous la courbe (*AUC_norm*) confirme que le déplacement directionnel est soutenu sur la durée du run, plutôt qu'étant un artefact terminal.

Corrélation dimension topologique – drift

La corrélation linéaire entre *topological_dim* et *avg_opinion* finale n'est pas significative ($r \approx -0,11$, $p > 0,60$). Cela indique que la dimension topologique globale, prise isolément, ne prédit pas directement le courant directionnel. L'effet observé est donc **conditionnel et**

interactionnel, ce qui est cohérent avec une interprétation bifurcationnelle : la topologie agit comme modulateur de régime plutôt que comme force linéaire additive.

Interprétation théorique

Ces résultats montrent que :

1. Même lorsque l'intensité d'injection est minimale,
2. La structure simulée conserve un effet différentiel significatif en C4,
3. L'amplification directionnelle résulte d'une interaction topologie \times constellation,
4. L'effet ne peut être réduit à une simple augmentation de probabilité ou de poids d'injection.

Ainsi, la profondeur d'attracteur observée dans C4, sous distribution simulée, apparaît comme une propriété émergente de la structure interne du système plutôt que comme un artefact paramétrique. L'intensité d'injection module l'amplitude, mais la topologie détermine la configuration du bassin d'attraction.

En termes MEPP-Wgap, cela suggère que la topologie simulée augmente le couplage effectif entre distance relationnelle dynamique et la mise à jour des mèmes, produisant un régime où la production d'entropie informationnelle se canalise vers une stabilisation directionnelle accrue. Ces propriétés persistent même lorsque l'intensité d'injection est réduite, indiquant que la formation d'attracteurs relève davantage de la configuration topologique que de la pression paramétrique.

5. Limites et perspectives : diffusion stratégique de mèmes

Les résultats ont des implications pour comprendre comment les opinions ou idées (mèmes) peuvent être diffusées efficacement au sein d'une population.

Premièrement, les agents centristes représentent des nœuds à fort levier en raison d'un faible Wgap et d'une forte volatilité. L'injection ciblée de mèmes dans cette région maximise la probabilité d'inversion, mais peut aussi augmenter l'instabilité systémique.

Deuxièmement, les clusters extrémistes résistent au changement en raison d'une forte cohérence interne. Les interventions ciblant ces zones nécessitent une exposition soutenue à plusieurs étapes pour modifier l'équilibre interne des mèmes plutôt que l'opinion de surface.

Troisièmement, la topologie des réseaux façonne de manière critique les résultats de diffusion. Dans des structures empiriques simulées, la propagation des mèmes exploite l'homophilie existante et les liens de relations. Dans les réseaux aléatoires, la diffusion manque de renforcement, ce qui réduit la formation durable des attracteurs.

Cependant, la diffusion stratégique soulève des considérations normatives et éthiques. Amplifier la volatilité dans les régions centristes peut déstabiliser les équilibres collectifs. De plus, les écologies cognitives du monde réel sont multidimensionnelles et médiées institutionnellement, limitant l'extrapolation directe.

6. Orientations de recherche futures

Les travaux futurs devraient étendre ce cadre aux espaces d'opinion multidimensionnels, aux acteurs médiatiques endogènes, au recâblage adaptatif des réseaux et aux métriques explicites basées sur l'entropie. L'analyse formelle de bifurcation pourrait clarifier les transitions de phase entre les états métastables et polarisés.

Conclusion

L'intégration des comparaisons C2–C3–C4, avec les distributions simulées versus aléatoires, démontre que la dynamique des opinions est régie par la topologie structurelle, le déséquilibre cognitif interne et des boucles de rétroaction non linéaires. La polarisation et l'instabilité apparaissent comme des propriétés intrinsèques des systèmes adaptatifs complexes plutôt que comme des anomalies d'interventions spécifiques.

7. Implications pratiques pour les campagnes d'information dans des contextes polarisés

Cette section traduit les résultats empiriques et formels du cadre MEPP–Wgap en considérations pratiques pour des campagnes d'information opérant dans des environnements polarisés. Les analyses présentées, notamment la robustesse de l'interaction *distribution simulée* × C4 sous paramètres d'injection minimaux (η^2 partiel_interaction = 0,2855 ; GEE β = 0,1036, $p < .001$), indiquent que la dynamique directionnelle ne dépend pas principalement de l'intensité brute d'injection, mais de la configuration topologique du système relationnel.

Autrement dit, la structure du réseau agit comme un **modificateur de régime**, et non comme un simple amplificateur linéaire.

7.1 Cibler la susceptibilité structurelle plutôt que la polarité de surface

Les résultats montrent que l'intensité d'injection (*inject_prob_max*, *inject_weight*) ne constitue pas le déterminant principal du déplacement directionnel. Même sous paramètres réduits, la condition simulée en C4 produit un effet significatif et stable. Cela implique que la persuasion efficace repose moins sur la multiplication des messages que sur l'exploitation (ou la transformation) de la structure relationnelle existante.

Ainsi, les campagnes devraient identifier les zones caractérisées par :

- un **Wgap modéré** (représentations internes encore plastiques),

- une **distance relationnelle dynamique élevée**,
- une position structurale permettant la diffusion multi-échelle.

Les segments centristes ne sont pas simplement « plus persuasibles » ; ils constituent des zones de production entropique élevée où les transitions sont structurellement plus probables.

7.2 Topologie du réseau et profondeur d'attracteur

La rapidité de convergence observée (t_{90} plus faible en Sim-C4) indique que certains environnements relationnels capturent plus rapidement une dynamique directionnelle, même lorsque l'intensité d'injection est faible. Cette observation suggère que la **profondeur d'attracteur** est principalement déterminée par la cohérence topologique.

Deux implications pratiques en découlent :

1. Les interventions opérant dans des réseaux structurés peuvent produire des effets cumulatifs disproportionnés sans augmentation d'intensité.
2. Les campagnes opérant dans des réseaux aléatoires ou faiblement cohérents auront tendance à produire des fluctuations transitoires plutôt qu'une stabilisation durable.

La topologie ne détermine pas linéairement le déplacement moyen (la corrélation directe entre *topological_dim* et drift étant non significative), mais elle conditionne la formation de régimes attracteurs distincts. L'action stratégique doit donc être pensée en termes de **configuration de régime**, et non d'augmentation marginale de persuasion.

7.3 Rééquilibrage cognitif progressif

Le cadre MEPP-Wgap implique qu'un changement durable nécessite une modification graduelle de l'équilibre interne des mêmes. Les stratégies de persuasion abruptes risquent d'augmenter temporairement la volatilité sans altérer la structure interne.

Les analyses montrent que :

- l'interaction topologie × constellation modifie la profondeur de bassin,
- l'intensité d'injection module l'amplitude mais non la configuration du régime.

Ainsi, les interventions efficaces doivent :

- introduire des représentations adjacentes plutôt qu'opposées,
- maintenir un flux informationnel suffisant pour éviter l'enracinement prématuré,
- éviter une saturation qui pourrait renforcer le Wgap.

La persuasion durable relève d'un **processus de recomposition interne**, non d'un simple déplacement scalaire.

Les données indiquent que maximiser l'intensité persuasive ne garantit pas une stabilisation directionnelle. Au contraire, la topologie peut produire des régimes de turbulence (forte

volatilité sans attracteur profond) ou des régimes de rigidité (attracteurs stables) indépendamment de la force d'injection.

Une campagne responsable doit donc distinguer :

- **volatilité transitoire,**
- **capture d'attracteur,**
- **stabilité structurelle à long terme.**

La surveillance des indicateurs dynamiques (vitesse de convergence, distance relationnelle dynamique, schémas d'inversion) est plus informative que l'observation des seuls déplacements agrégés d'opinion.

7.5 Architecture numérique et responsabilité structurelle

Les résultats renforcent l'importance des architectures numériques. Si des effets directionnels significatifs émergent sous paramètres d'injection minimaux, cela signifie que les modifications topologiques — algorithmes de recommandation, structure communautaire, hiérarchie de visibilité — possèdent un pouvoir systémique supérieur à la simple intensification des messages.

Les plateformes numériques peuvent ainsi :

- approfondir des attracteurs (régime de rigidité),
- induire une turbulence chronique,
- ou favoriser une recomposition stabilisée.

L'effet structurel étant démontré comme interactionnel et non linéaire, toute intervention architecturale doit être évaluée en termes de modification de régime, et non uniquement en termes d'exposition.

7.6 Considérations éthiques et normatives

Le fait que la topologie amplifie les dynamiques directionnelles même sous faible intensité d'injection implique que les interventions structurelles peuvent produire des effets disproportionnés. La manipulation indirecte des architectures relationnelles pourrait ainsi générer des changements macro-systémiques sans augmentation visible de pression persuasive.

Cela renforce la nécessité de :

- transparence algorithmique,
- pluralisme informationnel,
- limitation des effets d'enracinement extrême,
- évaluation éthique des interventions structurelles.

La complexité adaptative impose une responsabilité accrue : dans un système où la structure module le régime, modifier la structure revient à modifier les conditions de possibilité du changement d'opinion.

Synthèse de la section

Les nouvelles analyses montrent que :

- la topologie agit comme **modificateur de régime**,
- l'intensité d'injection module l'amplitude mais non la configuration du bassin,
- la profondeur d'attracteur peut émerger sous paramètres minimaux,
- la dynamique directionnelle dépend d'interactions structurelles.

En conséquence, la persuasion dans des contextes polarisés ne doit pas être conceptualisée comme une augmentation linéaire de pression informationnelle, mais comme une intervention sur les conditions topologiques qui structurent la production et la dissipation d'entropie informationnelle.

Conclusion générale

L'ensemble des analyses présentées démontre que la dynamique des opinions dans les systèmes multi-agents étudiés ne peut être comprise comme une simple réponse linéaire à l'intensité d'injection des mêmes. Au contraire, les résultats convergent vers une interprétation structurelle : la topologie relationnelle agit comme un modificateur de régime qui conditionne la formation, la profondeur et la stabilité des attracteurs.

Les comparaisons factorielles entre distributions simulées et aléatoires (Sim × Constellation) révèlent une interaction substantielle et robuste (η^2 partiel_interaction = 0,2855). Cette interaction demeure significative dans un modèle à estimation robuste (GEE : $\beta = 0,1036$, SE = 0,0261, $p < .001$), même lorsque les paramètres d'injection sont réduits à des niveaux minimaux (*inject_prob_max* = 0,45 ; *inject_weight* = 0,05). Ces résultats indiquent que l'amplification directionnelle observée en C4 sous distribution simulée ne constitue pas un artefact paramétrique, mais une propriété émergente de la configuration topologique.

La dynamique temporelle renforce cette interprétation : la convergence plus rapide vers l'attracteur (t_{90} réduit) en condition Sim-C4 suggère une profondeur de bassin accrue, et non un simple déplacement terminal de moyenne. En revanche, l'absence de corrélation linéaire significative entre *topological_dim* et le courant directionnel confirme que la topologie n'agit pas comme une variable additive prédictive, mais comme un mécanisme interactionnel déterminant des transitions de régime.

Ces observations s'inscrivent pleinement dans le cadre MEPP-Wgap proposé. Le déséquilibre cognitif interne (Wgap) et la distance relationnelle dynamique interagissent au sein d'un système propulsé-dissipatif contraint, où la production d'entropie informationnelle ne se

traduit pas mécaniquement par une instabilité accrue. Selon la configuration structurelle, cette production peut soit se canaliser vers des régimes de turbulence, soit s'effondrer dans des puits attracteurs stabilisés.

La polarisation et l'instabilité apparaissent ainsi non comme des anomalies contingentes d'interventions informationnelles, mais comme des propriétés émergentes de systèmes adaptatifs complexes dotés d'architectures relationnelles spécifiques. L'intensité d'injection module l'amplitude des dynamiques, mais la topologie détermine la configuration du bassin d'attraction et la nature du régime.

Les implications pratiques sont majeures. Les campagnes d'information ne peuvent être conceptualisées comme une augmentation linéaire de pression persuasive. Les effets directionnels significatifs observés sous faible intensité d'injection montrent que la structuration relationnelle d'une population — architecture numérique, modularité communautaire, nœuds de pontage, mécanismes algorithmiques — possède un pouvoir transformationnel supérieur à la simple amplification des messages. La persuasion durable dépend davantage de la configuration topologique que de la force brute.

Ce constat impose également une responsabilité accrue : modifier la structure d'un environnement relationnel revient à modifier les conditions de possibilité du changement d'opinion. Dans des systèmes où la topologie agit comme modificateur de régime, les interventions structurelles peuvent produire des effets systémiques disproportionnés, indépendamment de l'intensité apparente de la communication.

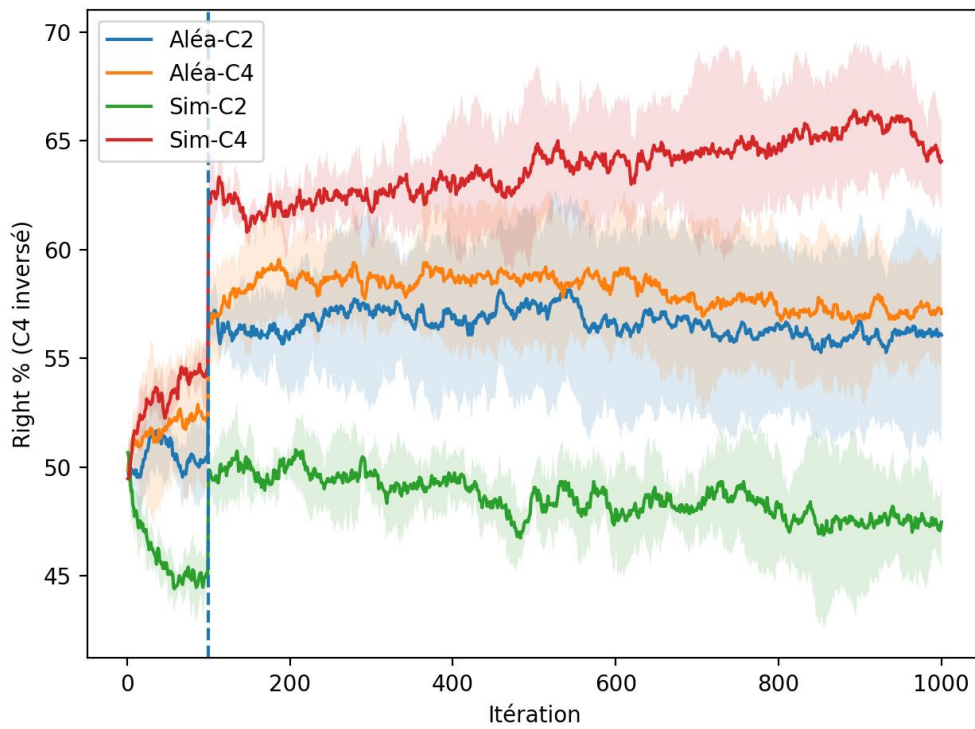
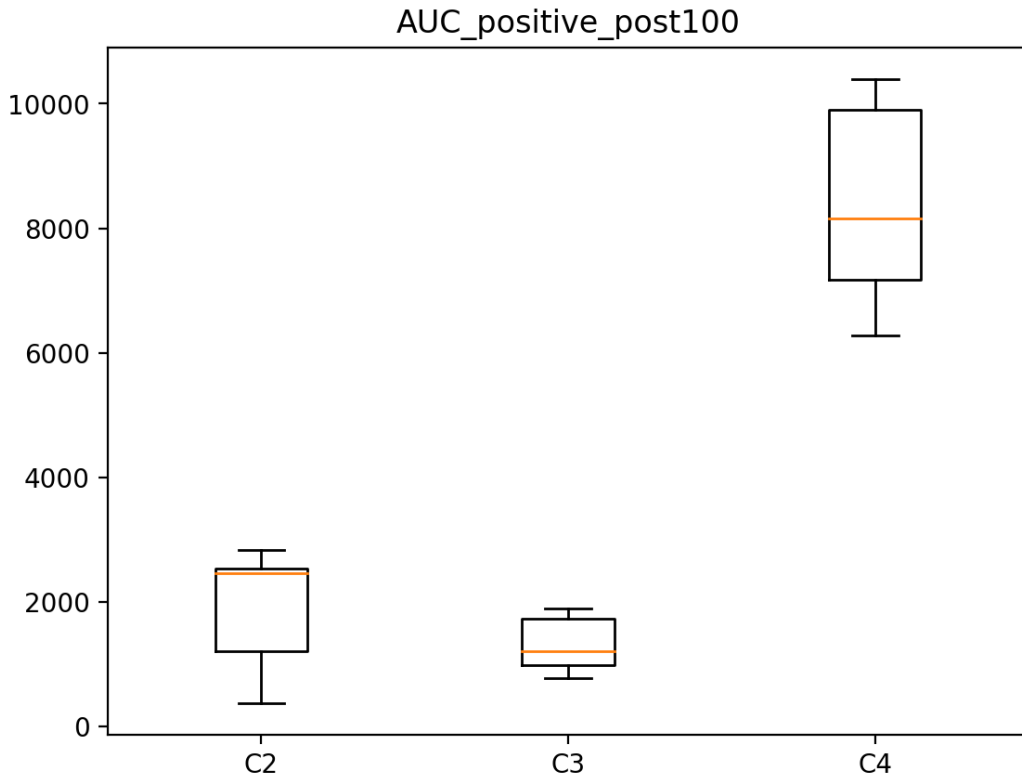
En définitive, l'intégration des comparaisons C2-C3-C4, des distributions simulées versus aléatoires, et des analyses paramétriques d'intensité d'injection confirme que la dynamique des opinions relève d'une coévolution non linéaire entre structure topologique, déséquilibre cognitif interne et production d'entropie informationnelle. Les attracteurs émergent comme des formes stabilisées de dissipation structurée plutôt que comme le produit direct d'une pression persuasive accrue.

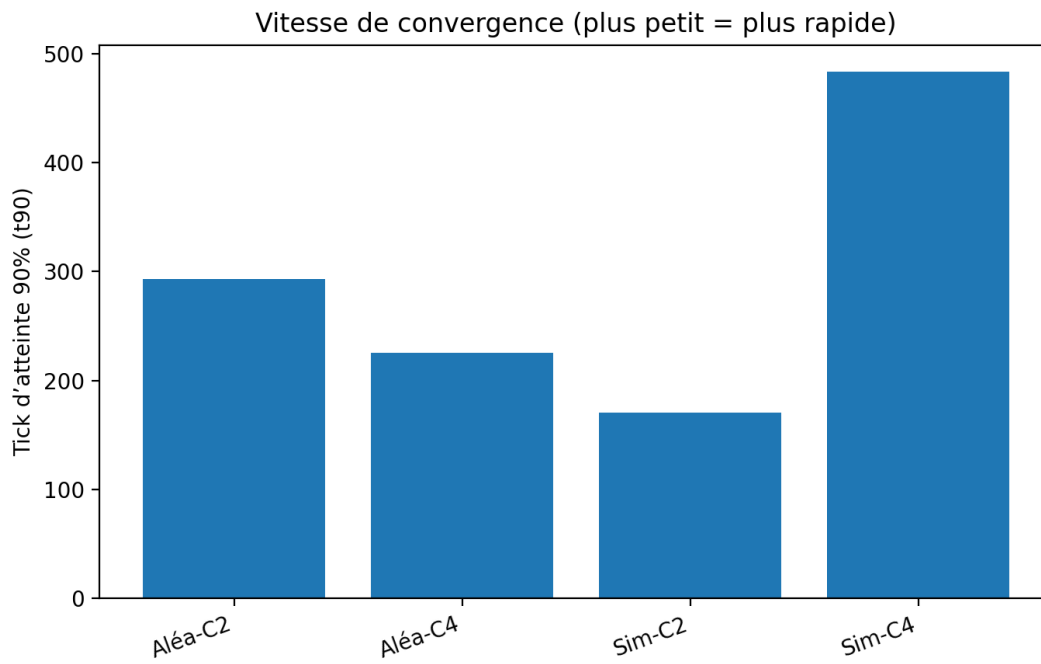
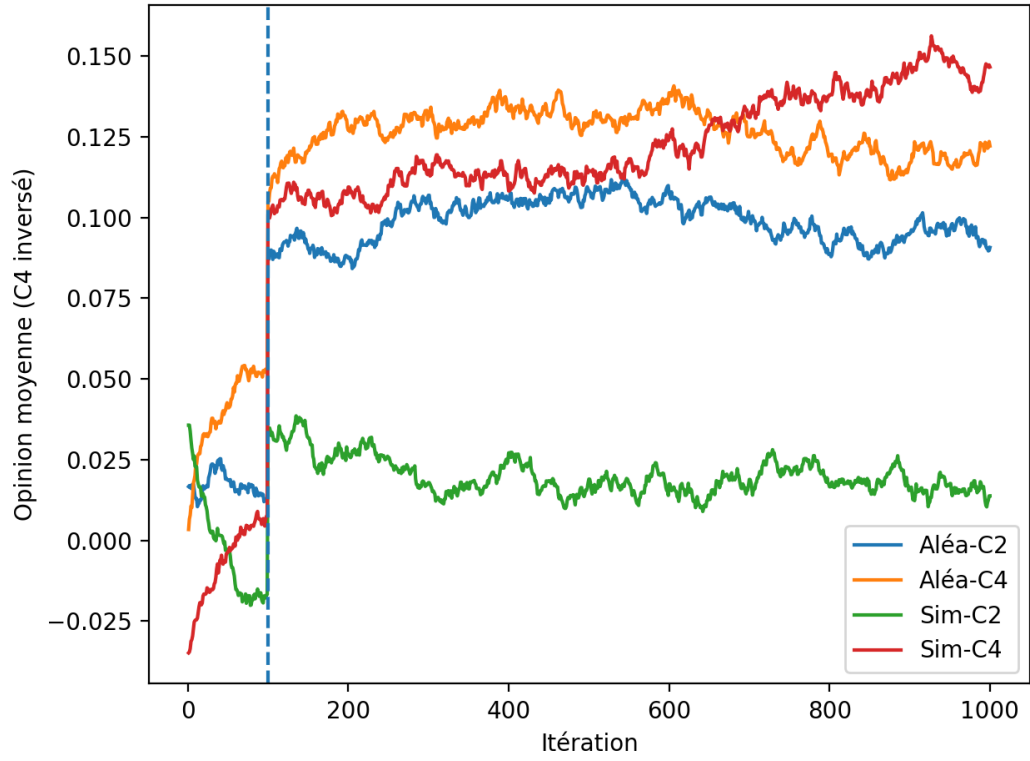
La compréhension des phénomènes de polarisation contemporains nécessite donc un déplacement conceptuel : de la persuasion comme intensification vers la persuasion comme configuration de régime.

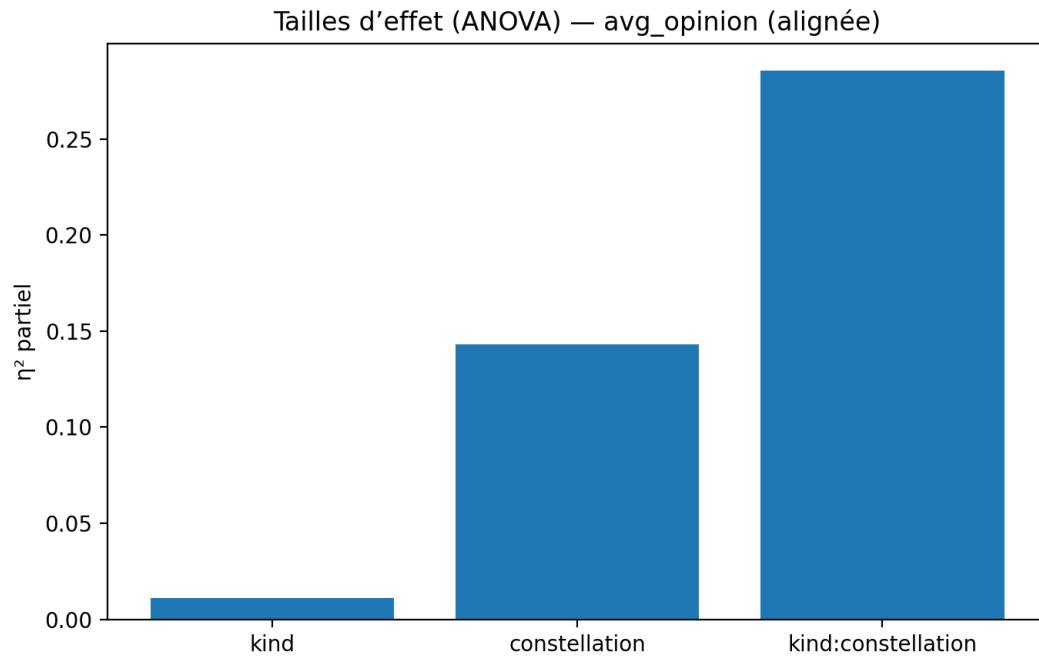
Références

- Axelrod, R. (1997). The dissemination of culture. *Journal of Conflict Resolution*, 41(2), 203–226.
- Bak, P. (1996). *How nature works: The science of self-organized criticality*. Springer.
- Helbing, D. (2012). *Social self-organization*. Springer.
- Kondepudi, D., & Prigogine, I. (2014). *Modern thermodynamics*. Wiley.
- Newman, M. (2018). *Networks (2nd ed.)*. Oxford University Press.

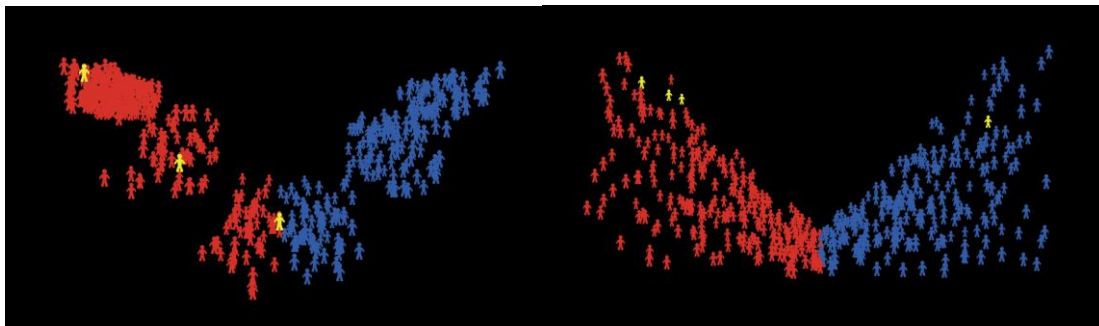
Nowak, A., Szamrej, J., & Latané, B. (1990). From private attitude to public opinion. *Psychological Review*, 97(3), 362–376.







Type de distribution



Simulation

Aléatoire